



**WYDZIAŁ FIZYKI
i INFORMATYKI STOSOWANEJ**
Uniwersytet Łódzki

Mateusz Borowiec

Kierunek: informatyka

Specjalność: informatyka stosowana

Ścieżka dydaktyczna: Sztuczna inteligencja

Numer albumu: 382765

**Zastosowanie ABM do analizy procesu
formowania opinii w wielowymiarowej przestrzeni
opinii**

Praca magisterska

wykonana pod kierunkiem

Dr hab. Tomasz Gwizdała, prof. UŁ

W Katedrze Systemów Inteligentnych

WFiIS UŁ

Łódź 2024

Spis treści

1	Wstęp	5
2	Podstawy teoretyczne	7
2.1	Czym jest ABM?	7
2.1.1	Główne cechy ABM	7
2.1.2	Zastosowania ABM	7
2.2	Sieci społecznościowe	8
2.2.1	Elementy sieci społecznościowych	8
2.2.2	Rodzaje sieci społecznościowych	9
2.3	Sieć Erdős-Rényi	9
2.3.1	Definicja modelu Erdős-Rényi	9
2.3.2	Właściwości sieci Erdős-Rényi	10
2.3.3	Zastosowania sieci Erdős-Rényi	10
2.3.4	Ograniczenia modelu Erdős-Rényi	10
2.4	Sieć Barabási-Albert	11
2.4.1	Założenia modelu Barabási-Albert	11
2.4.2	Algorytm generowania sieci Barabási-Albert	11
2.4.3	Właściwości sieci Barabási-Albert	12
2.4.4	Zastosowania sieci Barabási-Albert	12
2.4.5	Ograniczenia modelu Barabási-Albert	12
2.5	Sieć Watts-Strogatz	12
2.5.1	Cechy modelu Watts-Strogatz	13
2.5.2	Algorytm generowania sieci Watts-Strogatz	13
2.5.3	Właściwości sieci Watts-Strogatz	13
2.5.4	Zastosowania sieci Watts-Strogatz	14
2.5.5	Ograniczenia modelu Watts-Strogatz	14
2.6	Diagram Nolana	14
2.6.1	Kontekst historyczno-naukowy	15
2.6.2	Opis diagramu Nolana	15
2.6.3	Zastosowanie i znaczenie diagramu Nolana	16
2.6.4	Krytyka diagramu Nolana	16
3	Praktyczna realizacja sieci społecznościowej	17

3.1	Opis sieci społecznościowej	17
3.1.1	Opis działania agenta	17
3.2	Aktualizacja opinii agenta	18
3.2.1	Modyfikatory środka rozkładu	18
4	Opis technologii wykorzystanych w pracy	21
5	Opis implementacji	23
5.1	Klasa Network	23
5.2	Klasa Agent	23
6	Opis wykonanych w ramach pracy badań, symulacji, eksperymen-	
	tów	25
6.1	Model początkowy	25
6.2	Pierwsze poprawki	25
6.2.1	Zmieniona implementacja	27
6.3	Rozwinięcie badań	27
6.4	Drugie poprawki	27
6.4.1	Wyniki dla zwykłej średniej i średniej ważonej	28
6.5	Współczynnik modyfikujący średnią rozkładu	29
6.6	Analiza różnych współczynników modyfikujących średnią rozkładu . .	31
7	Analiza otrzymanych wyników	33
8	Podsumowanie	35
	Spis tabel	36
	Spis rysunków	36
	Bibliografia	37

Rozdział 1

Wstęp

Rozdział 2

Podstawy teoretyczne

2.1 Czym jest ABM?

Agent-Based Modeling (ABM) to metoda modelowania systemów złożonych, w której jednostki zwane agentami oddziałują ze sobą oraz z otoczeniem w sposób dynamiczny. ABM jest szeroko stosowana w badaniach nad zjawiskami społecznymi, ekonomicznymi, biologicznymi, ekologicznymi i innymi systemami złożonymi.

2.1.1 Główne cechy ABM

- **Agenci:** W ABM system składa się z wielu autonomicznych agentów, którzy podejmują decyzje na podstawie zestawu reguł i danych. Agenci mogą reprezentować osoby, grupy, organizacje, zwierzęta, komórki biologiczne itp.
- **Interakcje:** Agenci oddziałują ze sobą oraz z otoczeniem, co prowadzi do powstawania złożonych wzorców zachowań na poziomie systemu.
- **Heterogeniczność:** Każdy agent może mieć unikalne cechy, preferencje i zachowania, co umożliwia modelowanie różnorodności występującej w rzeczywistych systemach.
- **Emergencja:** Globalne wzorce zachowań systemu wyłaniają się z interakcji między jednostkowymi agentami, co oznacza, że zachowanie całego systemu nie jest wprost zaprogramowane, ale wynika z lokalnych interakcji.
- **Adaptacja:** Agenci mogą uczyć się i dostosowywać swoje zachowania w odpowiedzi na zmieniające się warunki otoczenia lub na podstawie doświadczeń.

2.1.2 Zastosowania ABM

- **Ekonomia i finanse:** Analiza zachowań konsumentów, rynków finansowych, decyzji inwestycyjnych oraz dynamiki makroekonomicznej [1].

- **Nauki społeczne:** Modelowanie procesów społecznych, takich jak dyfuzja innowacji, zachowania tłumu, ewolucja norm społecznych oraz migracje [2].
- **Biologia i ekologia:** Badanie dynamiki populacji, interakcji międzygatunkowych, rozprzestrzeniania się chorób oraz zachowań zwierząt [3].
- **Inżynieria i urbanistyka:** Symulacje ruchu drogowego, optymalizacja planowania urbanistycznego, zarządzanie infrastrukturą i systemami transportowymi [4].
- **Epidemiologia:** Modelowanie rozprzestrzeniania się chorób zakaźnych, skuteczności interwencji zdrowotnych, oraz dynamiki szczepień [5].

2.2 Sieci społecznościowe

Sieci społecznościowe to struktury złożone z jednostek (węzłów) oraz powiązań między nimi (krawędzi), które modelują relacje społeczne lub interakcje pomiędzy różnymi podmiotami. Jednostkami w takich sieciach mogą być osoby, organizacje, grupy społeczne lub inne podmioty, a relacje między nimi mogą obejmować przyjaźnie, współpracę, przepływ informacji, wpływy lub inne formy interakcji społecznych.

2.2.1 Elementy sieci społecznościowych

- **Węzły:** Każdy węzeł reprezentuje pojedynczego aktora lub podmiot w sieci. Może to być osoba, organizacja, społeczność, a nawet kraj w zależności od analizowanego systemu [6].
- **Krawędzie:** Krawędzie łączą węzły i reprezentują relacje lub interakcje między nimi. Krawędzie mogą być skierowane (kierunek relacji ma znaczenie) lub nieskierowane (relacja symetryczna) [7].
- **Wagi:** Krawędzie mogą być dodatkowo opatrzone wagami, które wskazują na siłę lub intensywność relacji między węzłami. Na przykład, w sieci znajomości wagi mogą odzwierciedlać częstotliwość interakcji.
- **Grupy:** Sieci często wykazują pewne struktury, w których węzły są bardziej gęsto połączone ze sobą niż z innymi częściami sieci, tworząc tzw. społeczności [8].
- **Centralność:** Niektóre węzły w sieci mogą odgrywać bardziej centralną rolę, np. poprzez łączenie wielu innych węzłów lub pośrednictwo w przepływie informacji [9].

2.2.2 Rodzaje sieci społecznościowych

- **Sieci egocentryczne:** Sieci, które koncentrują się na pojedynczym węźle (osobie lub organizacji) oraz jego bezpośrednich połączeniach. Analiza takiej sieci pokazuje, jak jednostka jest powiązana z innymi aktorami [10].
- **Sieci pełne:** Sieci, które obejmują całą grupę lub populację i badają relacje pomiędzy wszystkimi jednostkami w tej grupie. Są one szczególnie użyteczne do analizy struktur globalnych, takich jak hierarchie czy przepływy informacji [11].
- **Sieci jednopoziomowe:** W tego rodzaju sieciach każdy węzeł reprezentuje ten sam typ jednostek, np. osoby lub organizacje, a krawędzie to relacje między nimi [7].
- **Sieci dwupoziomowe:** Sieci te zawierają dwa typy węzłów, np. osoby i wydarzenia, a krawędzie reprezentują uczestnictwo danej osoby w wydarzeniu [12].
- **Sieci dynamiczne:** Sieci, w których relacje między węzłami mogą zmieniać się w czasie. Tego typu sieci są szczególnie przydatne w badaniu ewolucji grup społecznych, migracji czy zmian w przepływie informacji [13].

W kontekście analizy sieci społecznych często stosuje się matematyczne podejścia oparte na teorii grafów. W tym podejściu węzły grafu reprezentują jednostki społeczne, a krawędzie — relacje między nimi (np. przyjaźnie, kontakty, współpracę). W pracy przeanalizowane zostaną najważniejsze modele losowych grafów: model Erdős-Rényi, model Barabási-Albert, oraz model Watts-Strogatz.

2.3 Sieć Erdős-Rényi

Model sieci Erdős-Rényi (ER) jest jednym z najprostszych i najwcześniejszych modeli matematycznych do generowania losowych sieci. Nazwa pochodzi od nazwisk dwóch matematyków, Paula Erdősa i Alfréda Rényi, którzy w 1959 roku zaproponowali ten model [14]. Model ten jest często stosowany jako punkt odniesienia w analizie sieci i badaniach naukowych dotyczących struktur sieciowych.

2.3.1 Definicja modelu Erdős-Rényi

Istnieją dwie podstawowe wersje modelu Erdős-Rényi:

- **Model $G(n, M)$:** Dany jest zbiór n węzłów, a następnie losowo wybierane jest dokładnie M krawędzi spośród wszystkich możliwych par węzłów. Każda z M krawędzi jest dodawana niezależnie.

- **Model $G(n, p)$:** Dany jest zbiór n węzłów, a każda para węzłów jest połączona krawędzią z prawdopodobieństwem p , niezależnie od innych par. Ostateczna liczba krawędzi w tej wersji jest zmienną losową.

Najczęściej stosowaną wersją jest model $G(n, p)$, który jest bardziej intuicyjny i daje większą elastyczność w kontroli gęstości sieci.

2.3.2 Właściwości sieci Erdős-Rényi

- **Rozkład stopni węzłów:** W modelu $G(n, p)$ stopień każdego węzła jest zmienną losową o rozkładzie dwumianowym $Bin(n - 1, p)$. Dla dużych n rozkład ten zbliża się do rozkładu Poissona o wartości oczekiwanej $\lambda = p(n - 1)$.
- **Średnia długość najkrótszej ścieżki:** W miarę wzrostu liczby węzłów n , średnia odległość między węzłami jest stosunkowo krótka, rzędu $\ln n / \ln(np)$, co jest typowe dla tzw. efektu „małego świata”.
- **Klasteryzacja:** W sieci Erdős-Rényi współczynnik klasteryzacji, czyli prawdopodobieństwo, że dwa węzły sąsiadujące z danym węzłem są również połączone ze sobą, jest rzędu p i nie zależy od lokalnych struktur.
- **Pojawienie się gigantycznego składnika:** W modelu $G(n, p)$ istnieje próg $p_c = \frac{1}{n}$, powyżej którego zaczyna się tworzyć tzw. gigantyczny składnik – duża, spójna część sieci obejmująca znaczną część węzłów.
- **Losowy charakter:** Sieć nie posiada regularnej struktury, a rozmieszczenie krawędzi jest całkowicie losowe.

2.3.3 Zastosowania sieci Erdős-Rényi

Model Erdős-Rényi stanowi podstawę teoretyczną do badań nad sieciami losowymi i służy jako punkt odniesienia w analizie bardziej złożonych struktur sieciowych. Choć rzadko spotyka się go w rzeczywistych sieciach (np. sieciach społecznościowych, biologicznych, komputerowych), pomaga on zrozumieć, jak różnią się rzeczywiste sieci od struktur losowych.

2.3.4 Ograniczenia modelu Erdős-Rényi

Model Erdős-Rényi nie odzwierciedla dobrze wielu cech rzeczywistych sieci:

- **Mała klasteryzacja:** Rzeczywiste sieci często mają znacznie wyższy współczynnik klasteryzacji niż sieć ER.

- **Rozkład stopni węzłów:** W sieci ER stopnie węzłów mają rozkład zbliżony do Poissona, podczas gdy wiele rzeczywistych sieci charakteryzuje się rozkładem potęgowym (np. większość węzłów ma niski stopień, ale istnieje kilka węzłów o bardzo wysokim stopniu).

2.4 Sieć Barabási-Albert

Model Barabási-Albert (BA) to model sieci bezskalowej, gdzie stopnie węzłów podążają za rozkładem potęgowym. Model ten został zaproponowany przez Albert-László Barabásiego i Rékę Albert w 1999 roku [15] i jest jednym z najważniejszych modeli do opisu sieci rzeczywistych, takich jak sieci społecznościowe, internet, sieci metaboliczne i wiele innych.

2.4.1 Założenia modelu Barabási-Albert

Model BA opiera się na dwóch kluczowych mechanizmach:

- **Preferencyjne przyłączanie:** Nowe węzły mają większe prawdopodobieństwo połączenia się z węzłami, które już mają wiele połączeń. Oznacza to, że „bogaci stają się bogatsi” - węzły o wysokim stopniu przyciągają więcej nowych połączeń.
- **Wzrost:** Sieć rozwija się w czasie, przy czym do istniejącej sieci dodawane są nowe węzły, które tworzą połączenia z już istniejącymi węzłami.

2.4.2 Algorytm generowania sieci Barabási-Albert

Proces budowania sieci BA jest następujący:

1. **Inicjalizacja:** Rozpocznij od małej sieci początkowej składającej się z m_0 węzłów, które są połączone w pewien sposób.
2. **Dodawanie nowego węzła:** Na każdym kroku dodawany jest nowy węzeł, który tworzy $m \leq m_0$ krawędzi łączących go z już istniejącymi węzłami.
3. **Preferencyjne przyłączanie:** Prawdopodobieństwo, że nowy węzeł połączy się z istniejącym węzłem i , jest proporcjonalne do stopnia węzła k_i . Formalnie, prawdopodobieństwo to wynosi:

$$\Pi(k_i) = \frac{k_i}{\sum_j k_j},$$

gdzie k_i to stopień węzła i , a suma w mianowniku przebiega przez wszystkie istniejące węzły w sieci.

Proces ten jest kontynuowany, aż sieć osiągnie oczekiwaną liczbę węzłów.

2.4.3 Właściwości sieci Barabási-Albert

- **Rozkład skali:** W sieciach generowanych według modelu BA rozkład stopni węzłów podlega prawu potęgowemu, tj. $P(k) \sim k^{-3}$. Oznacza to, że większość węzłów ma niewielką liczbę połączeń, ale istnieje niewielka liczba węzłów (tzw. hubów) o bardzo wysokim stopniu.
- **Efekt małego świata:** Sieci BA, podobnie jak rzeczywiste sieci, mają stosunkowo małą średnią odległość między węzłami.
- **Preferencyjne przyłączanie:** Mechanizm ten prowadzi do tworzenia hubów, które dominują w strukturze sieci.

2.4.4 Zastosowania sieci Barabási-Albert

Model BA dobrze opisuje strukturę wielu rzeczywistych sieci, w tym:

- **Sieci internetowe:** Węzły reprezentują strony internetowe, a krawędzie — linki między nimi. Występuje kilka stron (hubów) mających bardzo dużą liczbę połączeń.
- **Sieci społecznościowe:** Węzły reprezentują osoby, a krawędzie ich relacje społeczne. Niektóre osoby (np. celebryci) mają znacznie więcej połączeń niż inne.
- **Sieci biologiczne:** W sieciach metabolicznych czy sieciach interakcji białek obserwuje się strukturę skali bez charakterystycznej wielkości.

2.4.5 Ograniczenia modelu Barabási-Albert

Mimo że model BA jest użyteczny, ma pewne ograniczenia:

- **Słaba klasteryzacja:** Sieci BA mają niższy współczynnik klasteryzacji niż obserwowane w rzeczywistych sieciach.
- **Mała różnorodność w ewolucji sieci:** Model zakłada jeden mechanizm wzrostu, co jest zbyt uproszczone w porównaniu z rzeczywistymi sieciami, które mogą rozwijać się na wiele sposobów.

2.5 Sieć Watts-Strogatz

Model sieci Watts-Strogatz (WS) jest jednym z kluczowych modeli do analizy zjawiska tzw. małego świata w sieciach. Został zaproponowany przez Duncana Wattsa i Stevena Strogatza w 1998 roku [16]. Model ten pozwala generować sieci, które łączą

w sobie cechy zarówno sieci regularnych, jak i losowych, co czyni go użytecznym w opisie rzeczywistych sieci społecznych, biologicznych czy technologicznych.

2.5.1 Cechy modelu Watts-Strogatz

Sieci Watts-Strogatz charakteryzują się następującymi właściwościami:

- **Krótką średnią ścieżkę:** Węzły są od siebie oddzielone przez stosunkowo małą liczbę połączeń, co jest charakterystyczne dla sieci „małego świata”.
- **Wysoki współczynnik klasteryzacji:** Węzły są silnie połączone z sąsiadami, tworząc lokalne grupy (kliki), co odpowiada klasteryzacji obserwowanej w rzeczywistych sieciach.
- **Efekt małego świata:** Sieć WS stanowi pośrednią strukturę pomiędzy sieciami regularnymi (gdzie węzły są połączone według ustalonego wzorca) a sieciami losowymi (gdzie połączenia są tworzone przypadkowo).

2.5.2 Algorytm generowania sieci Watts-Strogatz

Proces generowania sieci WS przebiega następująco:

1. **Konstrukcja pierścienia:** Rozpocznij od utworzenia regularnego pierścienia z n węzłami, gdzie każdy węzeł jest połączony z $k/2$ najbliższymi sąsiadami z każdej strony (czyli każdy węzeł ma k połączeń).
2. **Przełączanie krawędzi:** Dla każdej krawędzi łączącej węzeł i z węzłem j , losowo przełącz ją z prawdopodobieństwem p na nową krawędź, łącząc i z losowo wybranym węzłem m , pod warunkiem, że nie ma już połączenia między i a m .

Parametr p kontroluje stopień losowości w sieci:

- Dla $p = 0$ sieć jest całkowicie regularna.
- Dla $p = 1$ sieć staje się zupełnie losowa.
- Dla wartości $0 < p < 1$ sieć zachowuje zarówno wysoką klasteryzację, jak i krótką średnią ścieżkę, co odpowiada strukturze „małego świata”.

2.5.3 Właściwości sieci Watts-Strogatz

- **Współczynnik klasteryzacji:** Dla niewielkich wartości p sieć ma współczynnik klasteryzacji podobny do sieci regularnej.

- **Średnia długość najkrótszej ścieżki:** Nawet dla małych wartości p , średnia długość najkrótszej ścieżki w sieci spada gwałtownie, zbliżając się do wartości typowej dla sieci losowej.
- **Mały świat:** Sieci WS mają jednocześnie wysoki współczynnik klasteryzacji oraz krótką średnią długość najkrótszej ścieżki, co stanowi cechę „małego świata”.

2.5.4 Zastosowania sieci Watts-Strogatz

Model Watts-Strogatz jest wykorzystywany do analizy i modelowania struktur sieciowych w różnych dziedzinach, takich jak:

- **Sieci społecznościowe:** W sieciach społecznościowych znajomi często tworzą małe, silnie powiązane grupy, ale istnieją także połączenia z osobami spoza tych grup.
- **Sieci biologiczne:** Występuje w neuronowych sieciach mózgowych, gdzie niektóre neurony są bardziej skłonne do połączeń w lokalnych regionach, ale mają także połączenia do odległych obszarów.
- **Sieci komunikacyjne i transportowe:** Takie jak sieci elektryczne czy sieci lotnicze, które mają zarówno krótkie lokalne, jak i długodystansowe połączenia.

2.5.5 Ograniczenia modelu Watts-Strogatz

Chociaż model WS odzwierciedla wiele cech rzeczywistych sieci, ma też pewne ograniczenia:

- **Rozkład stopni węzłów:** Sieć WS nie tworzy rozkładu potęgowego stopni węzłów, co ogranicza jej zdolność do odzwierciedlania struktur sieci o charakterze bezskalowym.
- **Brak różnorodności w ewolucji sieci:** Model nie uwzględnia mechanizmu preferencyjnego przyłączania, który jest kluczowy w wielu rzeczywistych sieciach.

2.6 Diagram Nolana

Diagram Nolana jest narzędziem używanym do wizualizacji spektrum politycznego, które rozszerza tradycyjny, jednowymiarowy podział na lewicę i prawicę, wprowadzając dwuwymiarową analizę poglądów politycznych. Stworzony został przez amerykańskiego libertarianina Davida Nolana w 1970 roku [17]. Diagram ten zyskał

popularność wśród osób poszukujących bardziej złożonego sposobu zrozumienia różnorodności ideologicznej, ponieważ uwzględnia zarówno kwestie ekonomiczne, jak i społeczne w analizie politycznej.

2.6.1 Kontekst historyczno-naukowy

Tradycyjne postrzeganie spektrum politycznego jako linii prostej — od skrajnej lewicy do skrajnej prawicy — zostało poddane krytyce przez badaczy, filozofów i działaczy politycznych, którzy zauważyli, że jednowymiarowy model jest niewystarczający do opisu złożoności ideologii politycznych. W latach 60. i 70. XX wieku pojawiło się zainteresowanie wielowymiarowym podejściem do analizy politycznej, co skłoniło Davida Nolana do opracowania bardziej złożonego modelu [17].

Nolan zauważył, że różne ideologie mają różne podejścia do kwestii wolności osobistej oraz wolności ekonomicznej. Jego dwuwymiarowy model pozwalał na bardziej precyzyjną identyfikację pozycji ideologicznych, zwłaszcza dla ideologii, które nie pasowały do tradycyjnej skali lewica-prawica, takich jak libertarianizm.

2.6.2 Opis diagramu Nolana

Diagram Nolana przedstawia spektrum polityczne jako kwadrat podzielony na cztery ćwiartki, które reprezentują różne orientacje polityczne:

- **Oś pozioma (wolność ekonomiczna):** Reprezentuje zakres kontroli państwa nad gospodarką. Na lewym końcu znajdują się poglądy opowiadające się za większym wpływem rządu na kwestie ekonomiczne (np. socjalizm), natomiast na prawym końcu są poglądy popierające wolny rynek i minimalną interwencję rządową (np. leseferyzm).
- **Oś pionowa (wolność osobista):** Przedstawia zakres swobód obywatelskich i społecznych. Na górnym końcu znajdują się ideologie popierające maksymalną wolność osobistą (np. libertarianizm), podczas gdy na dolnym końcu znajdują się ideologie popierające większą kontrolę rządową nad życiem osobistym (np. autorytaryzm).

Pogranicze tych dwóch osi tworzy cztery główne obszary ideologiczne:

- **Libertarianizm (prawy górny róg):** Wysoka wolność osobista i ekonomiczna.
- **Autorytaryzm (lewy dolny róg):** Niska wolność osobista i ekonomiczna.
- **Lewica (lewy górny róg):** Wysoka wolność osobista, ale niska wolność ekonomiczna.

- **Prawica (prawy dolny róg):** Wysoka wolność ekonomiczna, ale niska wolność osobista.

2.6.3 Zastosowanie i znaczenie diagramu Nolana

Diagram Nolana jest używany do analizy i klasyfikacji poglądów politycznych w sposób, który uwzględnia wielowymiarową naturę ideologii. Pomaga on:

- **Rozszerzyć tradycyjne spektrum polityczne:** Pokazuje, że wiele ideologii nie pasuje do jednowymiarowego podziału na lewicę i prawicę, zwracając uwagę na to, że kwestie wolności osobistej i ekonomicznej mogą być od siebie niezależne.
- **Identyfikować złożone poglądy polityczne:** Umożliwia dokładniejszą identyfikację pozycji ideologicznych dla jednostek lub organizacji, których poglądy są bardziej złożone, niż proste podziały na lewicę i prawicę.
- **Wspierać edukację polityczną:** Jest używany jako narzędzie dydaktyczne do nauczania o różnorodności politycznej, pomagając zrozumieć, jak różne ideologie odnoszą się do wolności osobistej i ekonomicznej.

2.6.4 Krytyka diagramu Nolana

Mimo swojej popularności i użyteczności, diagram Nolana jest także przedmiotem krytyki:

- **Nadmierne uproszczenie:** Niektórzy badacze argumentują, że nawet model dwuwymiarowy nie oddaje pełni złożoności poglądów politycznych, które mogą obejmować wiele innych wymiarów, takich jak ekologia, polityka zagraniczna czy kwestie kulturowe.
- **Subiektywny wybór osi:** Oś wolności ekonomicznej i osobistej może nie być najważniejszym aspektem dla wszystkich osób, co sprawia, że model ten może nie być uniwersalny.

Rozdział 3

Praktyczna realizacja sieci społecznościowej

3.1 Opis sieci społecznościowej

Sieć społeczna wymieniona w tytule pracy ma za zadanie odpowiedzieć na pytanie, w jaki sposób formują się przekonania polityczne sieci społecznościowej. Podstawą realizacji jest agent posiadający specyficzne właściwości. Współczynnik wpływu na innych wyraża, w jakim stopniu agent wywiera wpływ na opinie sąsiadów, a tym samym na działanie całej sieci. Elastyczność jednostki określa, w jakim stopniu sąsiedzi agenta są w stanie wpłynąć na zmianę jego opinii. Opinia początkowa definiuje położenie początkowe agenta na wykresie.

3.1.1 Opis działania agenta

Właściwości agenta mają następujące cechy:

Zmienna	Zakres wartości	Rozkład
Wpływ na innych	0-1	równomierny
Elastyczność jednostki	0,1-1	beta
Opinia początkowa	0-1	równomierny

Tabela 3.1: Parametry agenta

Ograniczenia wartości mają na celu uniknięcie sytuacji, w której agent mógłby wyjść poza zakres możliwych do uzyskania opinii, tzn. przedział od 0 do 1. Wpływ na innych jest losowany z rozkładu równomiernego, żeby wyrównać szanse agentów na wpływ na innych. Opinia początkowa również jest losowana z rozkładu równomiernego, żeby w miarę możliwości równo rozłożyć opinie wszystkich agentów na początku istnienia sieci. Elastyczność jednostki jest losowana z rozkładu beta, żeby agenci byli bardziej skłonni do zmiany opinii.

3.2 Aktualizacja opinii agenta

Ewolucja sieci społecznościowej polega na zmianie opinii agentów, na bazie ich wewnętrznych właściwości oraz połączeń w obrębie sieci. Pozwalają one na wyznaczenie współczynników, które mają wpływ na środek rozkładu, z którego losowana jest nowa opinia.

Współczynniki użyte do aktualizacji opinii są wymienione poniżej:

Zmienna	Zakres wartości
Średnia opinii sąsiadów	0-1
Średnia wpływu sąsiadów	0-1
Udział znajomych agenta w populacji	0-1
Odległość opinii agenta i średniej opinii sąsiadów	0-1
Modyfikator środka rozkładu	0-1

Tabela 3.2: Parametry aktualizacji opinii

Na podstawie powyższych współczynników możemy wyznaczyć nową opinię, jednak nie wszystkie zostały użyte równocześnie do wyznaczenia wartości pojedynczego modyfikatora.

3.2.1 Modyfikatory środka rozkładu

Rozkład trójkątny

Rozkład, z którego jest losowana nowa wartość agenta, jest rozkładem trójkątnym. Dolną granicę przedziału wyznacza niższa z dwóch wartości: obecna opinia agenta lub średnia opinii sąsiadów. Górną granicą przedziału jest większa z nich. Centrum rozkładu C jest wyznaczane wg poniższego wzoru:

$$C = (A_d + N_i d) * A_f,$$

gdzie:

- A_d - stopień agenta (liczba sąsiadów)
- $N_i d$ - średnia wpływu sąsiadów
- A_f - elastyczność agenta

Nowy modyfikator środka rozkładu

Niestety poprzedni modyfikator środka rozkładu mógł uzyskać wartości powyżej 1, przez stopień agenta, który prowadził do uzyskania przez część agentów wartości większych od 1. Z tego powodu musiał zostać zmieniony. Nowy wzór modyfikatora środka rozkładu prezentuje się następująco:

$$C = A_f * (N_id + A_nc)/2,$$

gdzie:

- A_f - elastyczność agenta
- N_id - średnia wpływu sąsiadów
- A_nc - udział sąsiadów agenta w populacji

Wartość udziału sąsiadów agenta w populacji wyraża się jako liczba sąsiadów agenta, podzielona przez liczbę wszystkich agentów w populacji. Aby pokazać, że nowy modyfikator środka rozkładu faktycznie uzyskuje wartości 0-1, przeprowadzony został następujący dowód: $C = A_f * (N_id + A_nc)/2 = [0 - 1] * ([0 - 1] + [0 - 1])/2 = [0 - 1] * [0 - 1] = [0 - 1]$

Średnia wpływu sąsiadów będzie średnią ważoną, gdzie wartościami wag będą współczynniki wpływu A_i każdego z nich.

Rozdział 4

Opis technologii wykorzystanych w pracy

W pracy został wykorzystany język Python do implementacji sieci społecznych, zapisu wyników, oraz tworzenia wykresów obrazujących wyniki. Główną biblioteką wykorzystywaną do implementacji sieci społecznych jest biblioteka NetworkX [18]. Biblioteką do tworzenia wykresów została biblioteka Matplotlib [19]. Do odczytu oraz zapisu plików CSV została użyta biblioteka 'CSV' [20] ze standardowej biblioteki języka Python.

Rozdział 5

Opis implementacji

5.1 Klasa Network

Każda sieć społeczna składa się z klasy Graph z biblioteki NetworkX [18] oraz listy agentów przypisanych do każdego wierzchołka. Typ aktualizacji opinii jest również zdefiniowany w klasie. Ponadto, dla celów zapisu wyników, klasa zawiera nazwę sieci społecznej.

5.2 Klasa Agent

Każdy agent ma następujące parametry:

- Wpływ na innych (influence) - Osiąga wartości 0-1 i określa wartość wpływu na innych agentów
- Elastyczność (flexibility) - Osiąga wartości 0-1 i określa podatność agenta na zmianę opinii pod wpływem swoich sąsiadów
- Opinia (opinion) - Osiąga wartości 0-1 i określa wartość opinii agenta w zależności od opinii sąsiadów

Rozdział 6

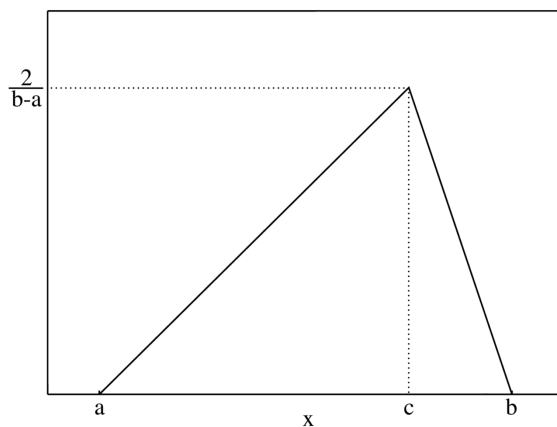
Opis wykonanych w ramach pracy badań, symulacji, eksperymentów

6.1 Model początkowy

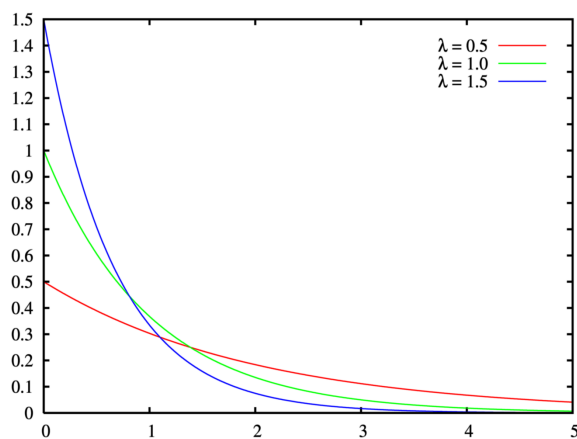
Początkowo zostały zaimplementowane trzy sieci: Barabasi-Albert, Erdos-Renyi, Watts-Strogatz. Ich opinie zmieniały się w zależności od opinii sąsiadów. Aktualizacja współrzędnych modelu była zmieniana w jednej iteracji równocześnie dla wszystkich węzłów, co doprowadziło do szybkiego zbiegania agentów do centrum.

6.2 Pierwsze poprawki

W celu wprowadzenia większej różnorodności w systemie wprowadzone zostały zmiany. Każdy agent uzyskał współczynnik daru przekonywania A_i , który pozwoli na zróżnicowanie wpływu agentów. Ponadto huby powinny mieć większy dar przekonywania. W celu uzyskania takiego efektu należało zwiększyć siłę oddziaływania węzłów z dużą liczbą sąsiadów. Ponadto każdy agent powinien mieć właściwość zwaną elastycznością, która zwiększa prawdopodobieństwo, że dany agent zmieni swoją opinię. Zaszła również potrzeba zmiany rozkładu, z którego była losowana nowa opinia agenta, ponieważ poprzedni rozkład trójkątny powodował szybkie zbieganie opinii do jednego centrum. Wybór padł na rozkład wykładniczy.



Rysunek 6.1: Rozkład trójkątny. Źródło: [21]



Rysunek 6.2: Rozkład wykładniczy. Źródło: [22]

6.2.1 Zmieniona implementacja

Na nowo zaimplementowany agent ma trzy własności — opinię, elastyczność zmiany opinii i wpływ na innych. Opinia agenta na początku jest losowana z rozkładu równomiernego, podobnie jak wpływ na innych. Elastyczność z kolei jest losowana z rozkładu beta tak, żeby była względnie mała. Opinie są aktualizowane, bazując na rozkładzie trójkątnym oraz własnościach agenta i jego sąsiadów. Wyliczana jest średnia opinia sąsiadów oraz średnia ich wpływu. Następnie obliczany jest udział sąsiadów agenta w ogólnej liczbie węzłów, który bierze udział w przesuwaniu środka rozkładu. Przesunięcie obliczane jest wg wzoru: przesunięcie = elastyczność agenta * (udział sąsiadów agenta w populacji + wpływ sąsiadów)

Sumowanie wpływu sąsiadów z udziałem sąsiadów agenta w populacji powoduje, że na agenta z większą ilością sąsiadów wywierany jest większy wpływ. Z drugiej strony, na odizolowanych osobnikach wywierany jest mniejszy wpływ, co powoduje, że 'okopują' się oni w swoich poglądach. Z kolei elastyczność agenta we wzorze pozwala ograniczyć wpływ otoczenia na danego agenta.

Rezultat jest taki, że huby mają duży wpływ na bliskie poglądowo węzły, zacieśniając je coraz bardziej, natomiast węzły z małą liczbą sąsiadów przesuwają się w kierunku huba dużo wolniej.

6.3 Rozwinięcie badań

Poprawa w działaniu symulacji prowadziła do dalszych badań. Należało zrobić obraz gęstości punktów w funkcji numeru iteracji i zbadać, czy zbieżność zależy od liczby osobników w populacji. Aby ocenić działanie symulacji, należało obliczyć numer iteracji, w której współrzędne punktów mieszczą się w przedziale o szerokości 0,1, co można uznać za stan stabilizacji. Dla każdego rozmiaru populacji zostały wykonane po 10 powtórzeń. Na tej podstawie obliczono średnią liczbę iteracji prowadzącą do stabilizacji symulacji dla danego rozmiaru populacji. Okazało się, że czas zbiegania symulacji rośnie logarytmicznie względem wielkości populacji, co pozwala przewidzieć czas zbiegania dla danego rozmiaru populacji.

6.4 Drugie poprawki

Po wykonaniu badań na nowym modelu okazały się konieczne kolejne poprawki. Należało policzyć współrzędne opinii sąsiadów jako średnią ważoną z wpływu sąsiadów. Należało sprawdzić, czy zmiana opinii sąsiadów opóźni zbieganie symulacji. Ponadto, należało zmienić rozkład losowania opinii osobnika, która miała być od teraz zależna od obecnej opinii osobnika i opinii sąsiadów, oraz elastyczności osobnika. Jeżeli punkty w dalszym ciągu będzie zbiegać szybko, będzie trzeba wprowa-

dzić współczynnik modyfikujący średnią rozkładu. Należy zaobserwować różnicę w zachowaniu dla różnych sieci oraz zależnie od wielkości populacji. Będzie potrzeba przeanalizowania, czy agenci nie zaczną rozdzielać się na dwie lub więcej grup.

6.4.1 Wyniki dla zwykłej średniej i średniej ważonej

Różnica między wynikami dla zwykłej średniej i średniej ważonej we wzorze aktualizacji opinii ukazują tabele poniżej.

Sieć Barabasi-Albert

Populacja	Średnia zwykła	Średnia ważona
20	7.1	8.9
50	8.4	10.8
100	10.9	14.8
200	11.0	15.8
500	13.5	18.2
1000	13.4	19.8
2000	14.9	20.0
5000	15.2	20.0

Tabela 6.1: Barabasi-Albert

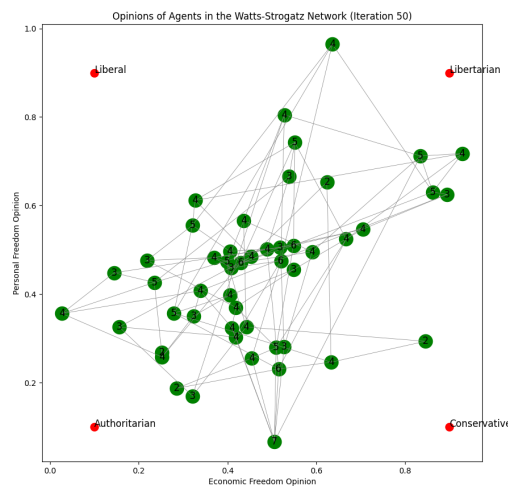
Sieć Watts-Strogatz

Populacja	Średnia zwykła	Średnia ważona
20	8.6	9.1
50	10.8	12.3
100	13.3	16.9
200	14.9	19.2
500	16.6	20.0
1000	18.3	20.0
2000	19.5	20.0
5000	20.0	20.0

Tabela 6.2: Watts-Strogatz

Populacja	Średnia zwykła	Średnia ważona
20	5.5	6.6
50	5.7	6.0
100	6.4	6.2
200	6.2	7.1
500	7.6	7.5
1000	7.6	8.5
2000	8.0	8.4
5000	8.5	9.6

Tabela 6.3: Erdos-Renyi

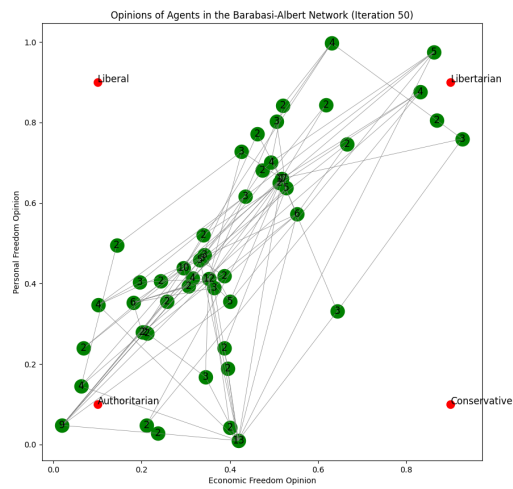


Rysunek 6.3: Watts-Strogatz

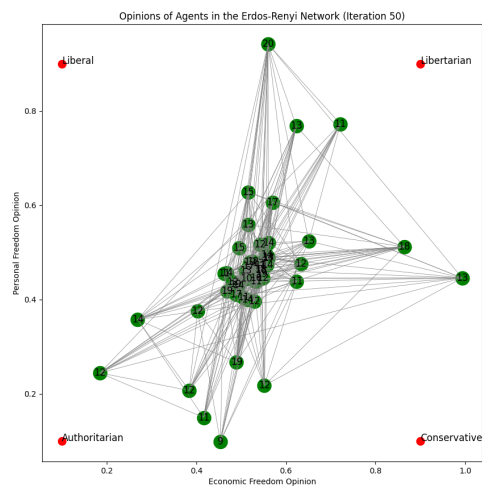
Sieć Erdos-Renyi

6.5 Współczynnik modyfikujący średnią rozkładu

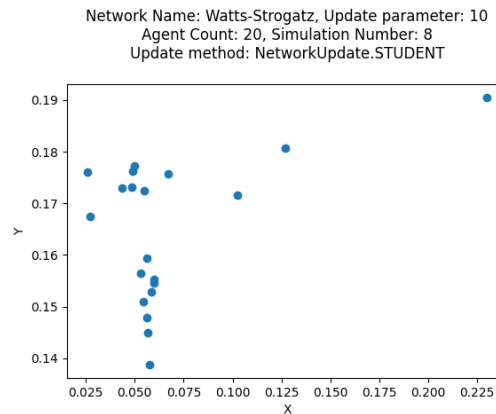
Dodatkowy współczynnik modyfikujący średnią rozkładu został dodany do funkcji aktualizującej opinię danego agenta. Okazało się, że współczynnik wynoszący 500 jest odpowiedni dla uzyskania więcej niż jednej zbieżnej grupy, przynajmniej dla sieci Wattsa-Strogatza i Barabasi-Alberta. W przypadku Erdos-Renyi nie powstaje więcej niż jedna grupa, prędkiej pojawiają się "orbitujące" elementy populacji, znacznie oddalone od głównej grupy. Dla mniejszych współczynników populacja jest zbieżna do jednej grupy, a dla większych elementy przestają się grupować. Przykładowe rezultaty widoczne są poniżej.



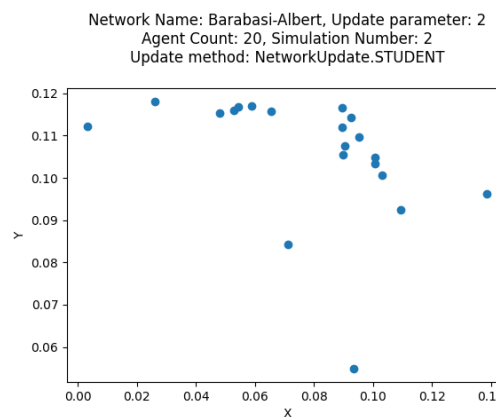
Rysunek 6.4: Barabasi-Albert



Rysunek 6.5: Erdos-Renyi



Rysunek 6.6: watts strogatz 10 20 8 student



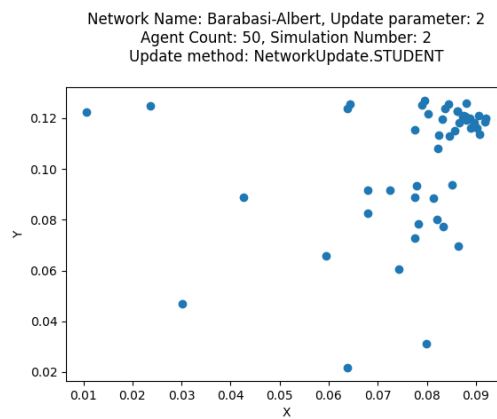
Rysunek 6.7: barabasi albert 2 20 2 student

6.6 Analiza różnych współczynników modyfikujących średnią rozkładu

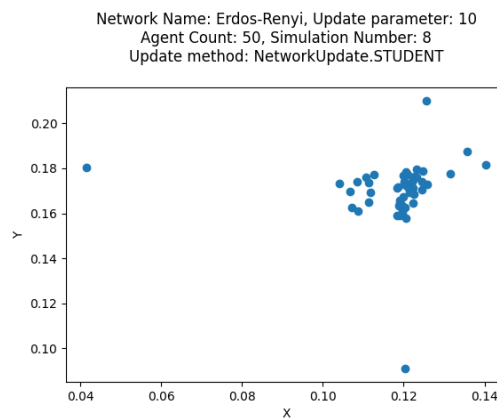
Jako że współczynnik modyfikujący średnią rozkładu pozwolił na uzyskanie lepszych rezultatów niż do tej pory, przeprowadzono badania dla różnych wartości parametru, wyniki są w plikach CSV pod podanym linkiem.

Przeprowadzone zostały obliczenia dla następujących wartości modyfikatora: $[0, 1, 0, 2, 0, 5, 1, 2, 5, 10, 20, 50, 100, 200, 500, 1000]$, oraz dla następujących wartości populacji: $[20, 50, 100, 200, 500, 1000, 2000, 5000]$.

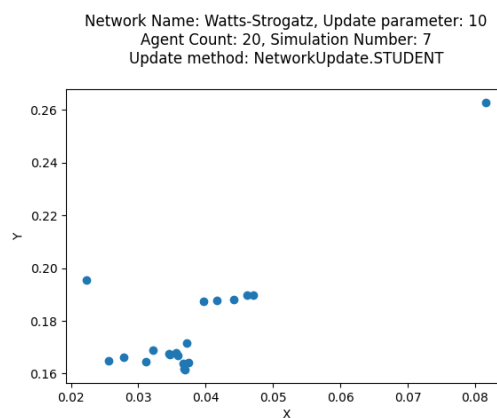
Niestety, niewiele z nich pozwoliło na uzyskanie więcej niż jednej grupy na wykresie. Wyniki widoczne poniżej.



Rysunek 6.8: barabasi albert 2 50 2 student



Rysunek 6.9: erdos renyi 10 50 8 student



Rysunek 6.10: watts strogatz 10 20 7 student

Rozdział 7

Analiza otrzymanych wyników

Rozdział 8

Podsumowanie

Spis tabel

3.1	Parametry agenta	17
3.2	Parametry aktualizacji opinii	18
6.1	Barabasi-Albert	28
6.2	Watts-Strogatz	28
6.3	Erdos-Renyi	29

Spis rysunków

6.1	Rozkład trójkątny. Źródło: [21]	26
6.2	Rozkład wykładniczy. Źródło: [22]	26
6.3	Watts-Strogatz	29
6.4	Barabasi-Albert	30
6.5	Erdos-Renyi	30
6.6	watts strogatz 10 20 8 student	31
6.7	barabasi albert 2 20 2 student	31
6.8	barabasi albert 2 50 2 student	32
6.9	erdos renyi 10 50 8 student	32
6.10	watts strogatz 10 20 7 student	32

Bibliografia

- [1] Tesfatsion, L., & Judd, K. L. (Eds.). (2006). *Handbook of Computational Economics: Agent-Based Computational Economics* (Vol. 2). Elsevier.
- [2] Epstein, J. M. (2007). *Generative Social Science: Studies in Agent-Based Computational Modeling*. Princeton University Press.
- [3] Grimm, V., & Railsback, S. F. (2005). *Individual-based Modeling and Ecology*. Princeton University Press.
- [4] Bonabeau, E. (2002). Agent-based modeling: Methods and techniques for simulating human systems. *Proceedings of the National Academy of Sciences*, 99 (Suppl 3), 7280-7287.
- [5] Eubank, S., Guclu, H., Kumar, V. S. A., Marathe, M. V., Srinivasan, A., Toroczkai, Z., & Wang, N. (2004). Modelling disease outbreaks in realistic urban social networks. *Nature*, 429 (6988), 180-184.
- [6] Wasserman, S., & Faust, K. (1994). *Social Network Analysis: Methods and Applications*. Cambridge University Press.
- [7] Newman, M. E. J. (2010). *Networks: An Introduction*. Oxford University Press.
- [8] Girvan, M., & Newman, M. E. J. (2002). Community structure in social and biological networks. *Proceedings of the National Academy of Sciences*, 99 (12), 7821-7826.
- [9] Freeman, L. C. (1979). Centrality in social networks: Conceptual clarification. *Social Networks*, 1(3), 215-239.
- [10] Hanneman, R. A., & Riddle, M. (2005). *Introduction to Social Network Methods*. University of California.
- [11] Scott, J. (2000). *Social Network Analysis: A Handbook* (2nd ed.). SAGE Publications.
- [12] Borgatti, S. P., & Everett, M. G. (1997). Network analysis of two-mode data. *Social Networks*, 19(3), 243-269.

- [13] Holme, P., & Saramäki, J. (2012). Temporal networks. *Physics Reports*, 519(3), 97-125.
- [14] Erdős, P., & Rényi, A. (1959). On Random Graphs I. *Publicationes Mathematicae*, 6, 290-297.
- [15] Barabási, A.-L., & Albert, R. (1999). Emergence of Scaling in Random Networks. *Science*, 286 (5439), 509-512.
- [16] Watts, D. J., & Strogatz, S. H. (1998). Collective dynamics of 'small-world' networks. *Nature*, 393 (6684), 440-442.
- [17] Nolan, D. (1971). The Case for a Libertarian Political Party. *The Individualist*, 1(4), 3-6.
- [18] Hagberg, A. A., Schult, D. A., & Swart, P. J. (2008). Exploring network structure, dynamics, and function using NetworkX. In *Proceedings of the 7th Python in Science Conference (SciPy2008)* (pp. 11-15). <https://networkx.org/>
- [19] Hunter, J. D. (2007). Matplotlib: A 2D graphics environment. *Computing in Science & Engineering*, 9(3), 90-95. <https://matplotlib.org/>
- [20] Python Software Foundation. (n.d.). *csv – CSV File Reading and Writing*. Python Documentation. <https://docs.python.org/3/library/csv.html>
- [21] CC BY-SA 3.0, <https://commons.wikimedia.org/w/index.php?curid=182090>
- [22] Autorstwa Cburnett - Praca własna, CC BY-SA 3.0, <https://commons.wikimedia.org/w/index.php?curid=73793>